

波力による円筒の挙動に関する研究

岐阜大学 正会員、非会員 増田重臣 ○ 守田孝志

緒言

円筒部材は、海洋構造物における最も重要な部材であり、更に様々の用途を持つだろうと考えられる。円筒部材に作用する流体力は、一般的に直柱として Morison 式などによて求められている。これは、部材が十分に剛であり、その変位が無視できれば十分合理的である。しかししながら、(1) 水面上構造物と同様に海洋構造物においても、柔タイアの構造物が設計されるようになると考えられる。柔タイアの構造系においては、可動性のために微小部分を拘束せ受けた運動体として解析しなければならず、それには、各部分に対して運動方程式を求めることが必要となる。即ち、液体場での固体運動を慣性系(固体質量 + 付加質量), 減衰系, 弹性系, 流体力系の相互作用系とすれば、方程式は次のようになる。

$$(M + M_a)\ddot{X}(t) + C(X, \dot{X}) + kX(t) = F(t) \quad (1)$$

固体が液体場において運動する場合、そのエネルギー応答は、 $\{F(t); \text{液体系} \rightarrow \text{固体系}\}, \{M_a\ddot{X}, C(X, \dot{X}); \text{固体系} \rightarrow \text{液体系}\}$ であり、これを定量的に表現するには、液体場を Fig-1 に示すように I), II), III) に分割し、それぞれにおいて上記のエネルギー応答が成立し、 $\{M_a\ddot{X} \in I\}, \{F(t) \in I, II, III\}, \{C(X, \dot{X}) \in II, III\}$ となる。故に、より合理的な運動方程式を得るには、上記のエネルギー応答の機構に対する研究が不可欠となる。

しかしこのことは、波動運動においては、水分子は時間的に速度変化し、更に鉛直方向速度成分を持つため、振動流と異り、て、3 次元 Navier-Stokes 式を解くことを必要とする。また、後流域、水面位置の時間的変動によって、付加質量、境界層の時間的変化をもたらし、これらの機構の研究も必要とする。故にまず、(1) 式において、 $C(X, \dot{X})$ を $R\dot{X}$ と仮定し、 R を実験的に決定し、測定された X より逆に $F(t)$ を求めるならば、少なくとも Morison 式よりもより理論的根拠を持つ、長流体力と考えられ、I), II), III) の総計として $F(t)$ を求める場合のより合理的な規準になると考えられる。こうした観点に II), て、著者達は本研究に取り組んでいた。

理論的考察

連続体の微小部分を拡大したモデルとして、Fig-2 を考え、これに対して液体力の動的解析を行なう。Fig-2 に示すように模型は 2 自由度系であり、剛体部の重心位置の水平変位 Y 。

$Y_g = Y + \theta d$ によって与えられる。これを Fig-3 に示すように剛体の並進運動系と回転運動系に分割し、これを Fig-2 の actual system に対する equilibrium system とし、これによつて Y_g を求めめる。又、自由振動における運動方程式を求める。 $m_0 \frac{d^2 Y}{dt^2} = -Q_0 + m_0 \theta d$

$$\int \frac{d^2 Y}{dt^2} = -M_0 + Q_0 \theta d \quad (2)$$

$$\int \frac{d^2 Y}{dt^2} = -M_0 + Q_0 \theta d \quad (3)$$

ここで、 $Q_0 = 12EIY/l^3 - 6EI\theta/l^2$, $M_0 = -6EIY/l^2 + 4EI\theta/l$ ところで、このタイアの振動体では、Fig-4 に示すように、振動の節点が生じ、

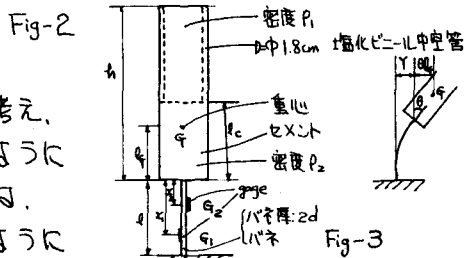
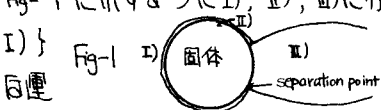


Fig-3

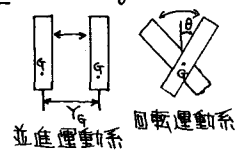


Fig-4

そこを支点として回転体のよう自振動を示すことが明らかにされている⁽³⁾。Fig-4より $Y = \theta X$ 故、 X を未知数として式(2),(3)に代入すれば、 θ, Y を消去して X が次のように入れられる。

$$X = \left\{ (N_B^2 - N_d^2) + \sqrt{(N_B^2 - N_d^2)^2 + 4N_d^2} \right\} / \left[(24EIl_q / (l^3 I_q))H + l/l_q l_q \right] \quad (4)$$

$$N_B^2 = 12EI/l^3 m_0$$

$$N_d^2 = 12EI l_q^3 (1 + l/l_q + l^2/l_q^2) / l^3 I_q$$

$$N_d^2 = 12(EI)^2 \{ l^2(l_q/l)^2 + 12l_q/l + 3 \} / l^4 m_0 I_q + 12EI \delta (l_q + l/2) / l^3 I_q$$

Fig-5

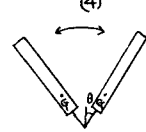


Fig-5で示される新しい equilibrium system を解いてθを求めれば、 $Y_q = (X + l_q)\theta$ となり Y_q が決まる。故に式(1)に対応する運動方程式は、次のようになる。

$$(I_o + I_a)d^2\theta/dt^2 + RLd\theta/dt + [4EI/l - 6EI X/l^2]\theta + [12EI X^2/l^3 - 6EI X/l^2]\theta = M(t) + m_0 g(l + X)\theta \quad (5)$$

$$\text{ここで、 } I_o = \frac{\pi D^2}{4} P_1 \int_{l/2}^{l+x} x^2 dx + \frac{\pi D^2}{4} P_2 \int_{l/2}^{l+x} x^2 dx = \frac{1}{12} \rho_1 \pi D^2 \{ (h+x)^3 - (l/2+x)^3 \} + \frac{1}{12} \rho_2 \pi D^2 \{ (l/2+x)^3 - X^3 \}$$

$$I_a = \rho_0 \pi D \int_x^{h+x} x^2 dx = \frac{1}{3} \rho_0 \pi D^2 \{ (h+x)^3 - X^3 \} \quad \rho_0: \text{液体密度}$$

$$L = \int_x^{h+x} x^2 dx = \frac{1}{3} \{ (h+x)^3 - X^3 \}$$

(6)

【Rの決定】 $M(t)$ を0として、式(6)を次のようになります。 $I\ddot{\theta} + RL\dot{\theta} + K\theta = 0$ (6)

これをFig-6で示される初期条件 $\theta|_{t=0} = \theta_0, d\theta/dt|_{t=0} = 0$ より解けば、次のようになります。

$$\theta = C e^{j\omega t} \cos(\omega_* t + \delta) \quad \text{Fig-6}$$

$$d = RL/I$$

$$C = \sqrt{A_0^2 + (d\theta_0/\omega_*)^2}$$

$$\omega_* = \sqrt{K/I - (RL/2I)^2}$$

$$\delta = \tan^{-1}(-d/\omega_*)$$

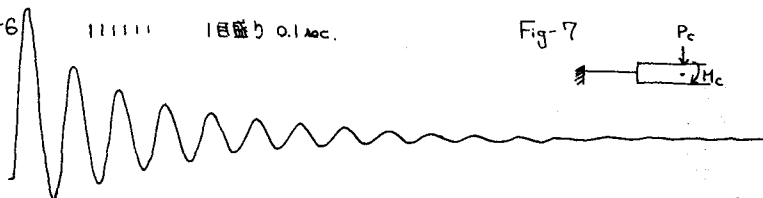
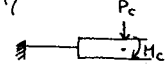


Fig-7



減衰比 $\alpha_d/\alpha_{n1} = \exp(j\theta_0/\omega_*)$ より Rを決定する。Fig-7のよう G_1, G_2 に strain gage を貼り、外力を重心に作用する集中力 P_c と曲げモーメント M_c によって代表する自振は。

$$M_{q1} = EI\varepsilon_1/d = P_c x_1 + M_c l \quad \text{よって, } \theta = \frac{1}{EI} \{ P_c l (l/2 + l_q) + M_c l \} = [(l^2/2 + l_x + 2ll_q)\varepsilon_1 - (l^2/2 + 2ll_q + l_x)\varepsilon_1]/(d\alpha_{n1}) \quad (7)$$

$$M_{q2} = EI\varepsilon_2/d = P_c x_2 + M_c + P_c l q \quad = J_2 \varepsilon_2 - J_1 \varepsilon_1 = (4J_2/e_k) \delta \varepsilon_2 - (4J_1/e_k) \delta \varepsilon_1 = k_2 \delta \varepsilon_2 - k_1 \delta \varepsilon_1 \quad (8)$$

$\therefore \theta = k_2 (\delta \varepsilon_2)_n - k_1 (\delta \varepsilon_1)_n - \log |k_2 (\delta \varepsilon_2)_m - k_1 (\delta \varepsilon_1)_m| = \pi / \sqrt{4KI/l^3} - 1$ k_s : ゲージ定数, e : 回路電圧

【M(t)の決定】 式(7)によつて、 θ は $\theta = \theta_0 + \sum_n (A_n \cos 2\pi n t/T + B_n \sin 2\pi n t/T)$ と表される。ただし、不規則曲線故、J-1の工系数によつて与えられる。 $\theta = \theta_0 + \sum_n (A_n \cos 2\pi n t/T + B_n \sin 2\pi n t/T)$ (8)

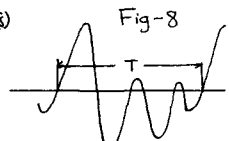
Fig-8に示す正弦波の波形Tを24に分割すれば、J-1の工系数は次の

ようになります。 $A_0 = \frac{1}{24} [\theta(2\pi t_1/T) + \dots + \theta(2\pi t_{24}/T)]$

$$A_n = \frac{1}{12} [\theta(2\pi t_1/T) \cos n(2\pi t_1/T) + \dots + \theta(2\pi t_{24}/T) \cos n(2\pi t_{24}/T)]$$

$$B_n = \frac{1}{12} [\theta(2\pi t_1/T) \sin n(2\pi t_1/T) + \dots + \theta(2\pi t_{24}/T) \sin n(2\pi t_{24}/T)], -T/2 < t_m \leq T/2$$

$M(t) = A_0 + \sum_n (A_n \cos 2\pi n t/T + B_n \sin 2\pi n t/T)$ と置いて、これを式(8)と共に式(6)に代入して、 A_0, A_n, B_n を求めれば、波形を復元し得くても、近似されて波による流体力が与えられる。



結語

円筒体の挙動から波力の推定を試みる方法を述べるに留まり、実証するまでに到らぬか、E。実験波を \sin 曲線で仮定する方法では、式(6)の解の日本実験データと比較するに不適当といふこと、今回的研究とE. 引玉統計手法に実験値を代入して検討する予定である。参考文献掲載省略。